

گذار اندرسون در شبکه DNA و اثرات محور DNA

خلاصه

مقدمه: مولکول DNA به علت داشتن خواص منحصر به فرد و بدیع می‌تواند در زمینه‌های تحقیقاتی مختلفی از جمله نانوالکترونیک نوری^۱ مورد استفاده قرار گیرد. امروزه، نانوساختارهای مبتنی بر DNA با کیفیت تشخیص مولکولی توسعه فراوانی یافته‌است اما با این حال مفهوم نانوالکترونیک مولکولی مبتنی بر DNA موضوعی است که هنوز با چالش‌هایی روبرو است و مطالعات فراوانی بروی آن در حال شکل‌گیری است. با این توصیف، هدف از مطالعه حاضر بررسی خواص الکتریکی مولکول DNA است.

روش بررسی: مطالعه رفتار الکتریکی ساختارهای بلوری دارای نقص در قالب نظریه جایگزیدگی اندرسون ممکن است. در مطالعه حاضر نیز با اساس قرار دادن این نظریه از روش ماتریس انتقال و طول جایگزیدگی به منظور بررسی رفتار الکتریکی DNA بهره می‌گیریم.

یافته‌ها: در پژوهش حاضر، طول جایگزیدگی توابع موج الکترونی به‌ازای مقادیر متفاوت انرژی و در حضور اختلال‌هایی با شدت‌های متفاوت محاسبه شد. مطالعه حاضر که بر مبنای تعیین مدل دوزنجریه‌ای DNA به مدل نزدیک به واقعیت سه‌زنجریه‌ای انجام گرفته‌است، نشان می‌دهد در حضور اختلال وارد شده، در گستره خاصی از انرژی می‌توانیم شاهد گذار عایق-رسانا در DNA باشیم و درنتیجه مولکول DNA همانند رساناها قابلیت انتقال الکترون را خواهد داشت.

نتیجه‌گیری: در پژوهش حاضر، مدل سه‌زنجریه‌ای مورد بررسی قرار گرفت. نتایج بدست آمده نشان می‌دهد در مقایسه با مدل دوزنجریه‌ای، مدل سه‌زنجریه‌ای شرایط مناسب‌تری را برای گذار عایق-رسانا فراهم می‌کند. نتایج این مقاله می‌تواند راهگشای توسعه ساخت نانوایزارهای الکترونیک مولکولی باشد.

واژه‌های کلیدی: نانوالکترونیک مولکولی، مولکول DNA، نظریه جایگزیدگی اندرسون، گذار عایق-رسانا

سهراب بهنیا^۱

جاوید ضیائی^۲

حمید مولایی نسب^۳

مهند خداویردی‌زاده^۴

۱. دانشیار فیزیک، گروه فیزیک دانشگاه صنعتی ارومیه، ارومیه، ایران

۲. دانشجوی دکتری فیزیک، گروه فیزیک دانشگاه صنعتی ارومیه، ارومیه، ایران

۳. کارشناس ارشد، گروه فیزیک دانشگاه صنعتی ارومیه، ارومیه، ایران

۴. مریم مهندسی اپتیک ولیزر، گروه مهندسی برق دانشگاه صنعتی ارومیه، ارومیه، ایران

مطالعه قرارگرفته است که با توجه به قربت تعریف آن در تئوری جایگزیدگی اندرسون، نمای لیپانوف کوانتمومی که کمیتی برای بررسی وقوع آشوب در سیستم‌های کوانتمومی است، تعریف می‌شود [۱۶].

نظریه جایگزیدگی، خواص رسانایی مواد را در حضور ناخالصی تحلیل می‌کند از این دیدگاه، سه رژیم انتقال وجود دارد: حالت فلزی، جایگزیده و بحرانی، در مدل‌های یکبعدی و دو بعدی، زمانی که بی‌نظمی تا آستانه یک مقدار بحرانی افزایش یابد، تمام حالت‌های الکترونی تبدیل به عایق می‌شوند بنابراین این سیستم‌ها می‌توانند با تغییر شدت بی‌نظمی تحت گذار عایق-رسانا قرار بگیرند [۱۷].

به طور کلی مدل‌های متفاوتی برای DNA ارائه شده است که در ارتباط با جایگزیدگی اندرسون اغلب از مدل دوزنجریه‌ای و با صرف نظر کردن از حرکات پیچشی آن و با درنظر گرفتن برهمکنش با تزدیک‌ترین همسایه‌ها استفاده می‌شود (شکل ۱) که در این مدل، دو رشته DNA نسبت به یکدیگر موازی ولی قطبیت آن‌ها مخالف یکدیگر است همچنین بازها در میان دو رشته قرارگرفته و بهوسیله پیوندهای هیدروژنی ضعیف به یکدیگر متصل‌اند. این زنجیره‌ها ساختاری نسبتاً منظم دارند به آن معنی که مولکول DNA دارای اسکلتی (زنجره قند-فسفات) با یک الگوی منظم و تکرارشونده یکبعدی است که در فیزیک به عنوان کریستال‌های تکبعدی شناخته می‌شوند. علاوه بر این اسکلت با تکرار متفاوت اتم‌ها، DNA دارای ساختار غیرمنظم نیز هست به طوری که بخش نامنظم (گروه‌های جانی) بهوسیله بازهای متصل به قند بوجود می‌آید و در طول زنجیره ایجاد توالی می‌کند که این توالی ساختار اولیه DNA را ایجاد می‌کند [۱۸]. بنابراین برای نزدیک شدن به مدل واقعی بایستی این ساختارهای غیرمنظم را نیز در نظر گرفت. محققان این بی‌نظمی را به عنوان یک اختلال کوچک در الگوی منظم اسکلت در نظر می‌گیرند و تئوری اختلال را برای بررسی هرچه بهتر DNA به کار می‌برند [۱۹].

از آنجایی که بررسی حالت‌های جایگزیده و خواص گذارها با یک اثر کوانتمومی خالص توضیح داده می‌شود، در این مطالعه سعی می‌کنیم نتایج حاصل از گذار را برای یک سیستم یکبعدی جفت‌شده سه‌زنجره ای DNA، شامل دوزنجره منظم (گروه قند و فسفات، زنجیره اول و آخر) و یک زنجیره مختلط شده (توالی جفت‌بازهای، زنجیره وسط) با استفاده از روش ماتریس انتقال محاسبه کرده و گذار عایق-رسانا را به ازای ضرایب مختلف برهم‌کنش بین زنجیره‌ها بررسی کنیم و نتیجه را با مدل دوزنجره‌ای مقایسه نماییم. لذا در قسمت اول، مدل به کار رفته در این مقاله را توضیح خواهیم داد سپس در قسمت دوم، نتایج حاصل از به کار گیری روش ماتریس انتقال را ارائه خواهیم کرد و در نهایت نتیجه گیری

مقدمه

ادغام فناوری نانو با علوم زیستی و مهندسی زیستی باعث ایجاد پیشرفت‌های بسیار زیادی در ساخت دستگاه‌های با فناوری نانو شده است، لذا از DNA^۱ با توجه به ابعاد مناسب آن به طور گسترده به شکل ساختارهای نانومقیاس استفاده شده است [۱]. هرچند تعداد زیادی از نانوساختارهای DNA ساخته شده است، اما تحقق نانوالکترونیک مولکولی مبتنی بر DNA هنوز هم به علت ناشناخته بودن برخی از خواص فیزیکی و شیمیایی DNA مورد چالش دانشمندان این شاخه از علم است [۲]. هدایت الکتریکی در DNA به دلیل ویژگی‌های منحصر به فرد آن به رغم مطالعات نظری و تجربی فراوان هنوز هم یکی از موضوعات جذاب و پرکاربرد برای محققان است [۳ و ۴]. داده‌های تجربی نشان می‌دهد وقتی یک پرتوی لیزر پالسی به نمونه‌ای مانند DNA تابیده شود، افزایش غیرخطی در اغتشاش جریان الکترونی به وجود خواهد آمد [۵]. اخیراً نظریه‌های متعددی در جهت اندازه گیری رسانندگی در DNA ارائه شده است که این اجازه را به محققان می‌دهد تا از DNA در ساخت نانو سیم‌ها برای به کار گیری در دستگاه‌های مولکولی استفاده کنند، در واقع توسعه‌های انجام شده محققان را قادر به محاسبه رسانندگی DNA در DNA ساخته است [۶ و ۷]. اگرچه پدیده انتقال بار در توسط الکترون‌ها و حفره‌ها امری مشخص است ولی هنوز دلیل طیف گسترده رسانندگی و عدم رسانندگی در DNA های مختلف مشخص نشده است [۸]. در همین راستا مطالعات متعددی بروی مولکول DNA انجام شده است که نشان می‌دهد خواص انتقال بار و انرژی وابسته به درجه و نوع اختلال وارد شده است [۹].

در ارتباط با پدیده انتقال بار در DNA، پورس^۲ و همکاران مشخصه جریان-ولتاژ غیر تعادلی جفت باز (C-G) را با متصل کردن آن به پلاتین در دمای اتان محسوبه کردند [۱۰]. از طرفی کانیبریتی^۳ و همکاران رفتار شبه رسانایی DNA را با جفت‌شدن بازها با زنجیره‌های پشتیبان Cند-فسفات مشاهده کردند [۱۱]. ایگوچی^۴ رفتار شبه رسانایی DNA را با استفاده از مدل دوزنجره‌ای نرdbani^۵ نتیجه گرفت [۱۲]. همچنین زنک^۶ و همکاران با به کار بردن نظریه جایگزیدگی اندرسون و در نظر گرفتن مدل دوزنجره‌ای DNA با محاسبه طول جایگزیدگی DNA رفتار الکتریکی آن را مورد بررسی قراردادند [۱۳]. اخیراً از آشوب کوانتمومی به عنوان یک نظریه نویا و جایگزین در تحلیل سیستم استفاده می‌شود [۱۴ و ۱۵]. آشوب کوانتمومی به روش‌های متفاوتی مورد

Deoxyribonucleic acid .۱

Porth .۲

Cuniberti .۳

Iguchi .۴

Zhang .۵

مربوطه را خواهیم داشت.

توصیف مدل دو و سه زنجیرهای DNA

در این مدل، DNA را به صورت دوزنجیره که یکی زنجیره مربوط به قند-فسفات (منظمه) و زنجیره دیگر مربوط به جفت بازها (مختن شده) خواهد بود در نظرمی‌گیرند (شکل ۱). همچنین بدليل برهم‌کنش‌های متفاوت زنجیره‌ها در مولکول DNA در اینجا ضرایب برهم‌کنش در هر زنجیره و ضرایب برهم‌کنش بین دوزنجیره متفاوت اختیار می‌شود.

تحول تابع موج یک سیستم تنگبست دوزنجیره‌ای جفت‌شده با هامیلتونی زیر [۱۰] توصیف می‌شود.

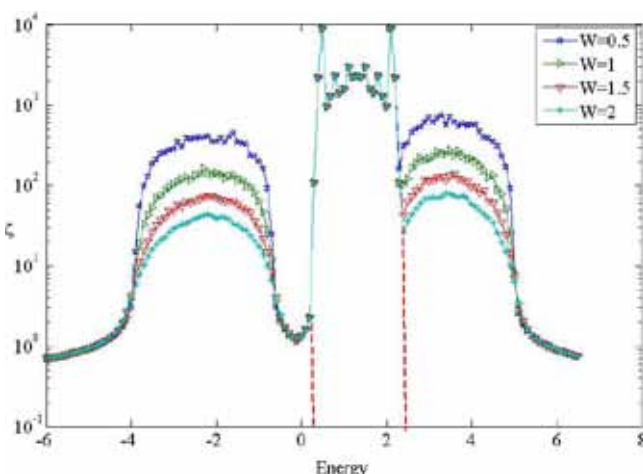
(۱)

$$H = H_1 + H_2 + H_{21} + H_{12} = \sum_j \left[\mathcal{E}_{1,j} c_{1,j}^+ c_{1,j} + \left(c_{1,j}^+ c_{1,j+1} + c_{1,j+1}^+ c_{1,j} \right) \right] + \sum_j \left[\mathcal{E}_{2,j} c_{2,j}^+ c_{2,j} + \left(c_{2,j}^+ c_{2,j+1} + c_{2,j+1}^+ c_{2,j} \right) \right] + \sum_j V_1 c_{1,j}^+ c_{1,j} + \sum_j V_2 c_{2,j}^+ c_{2,j} + \sum_j V_1 c_{2,j}^+ c_{2,j} + \sum_j V_2 c_{1,j}^+ c_{1,j}$$

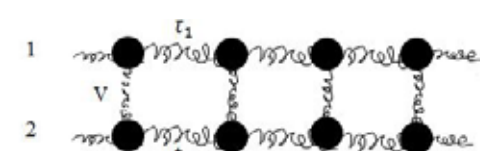
که H_3 هامیلتونی زنجیره سوم و V_1 ، V_2 به ترتیب برهم‌کنش بین زنجیره‌های (۱-۲) و (۲-۳) هستند و بقیه کمیات بهمانند رابطه ۱ تعریف می‌شوند.

روش بررسی

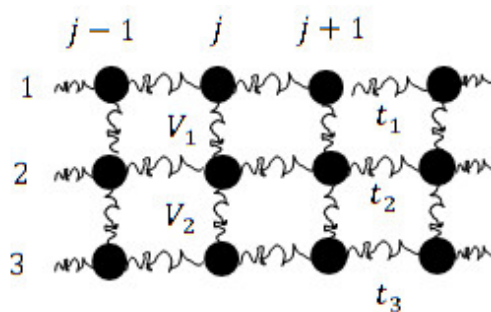
در این قسمت نتایج حاصل از به کارگیری روش ماتریس انتقال را در محاسبه طول جایگزیدگی شبکه DNA ارائه می‌دهیم. حالت‌های جایگزیده و گسترده با مشخصه کوانتموی پخش یک الکترون بیان می‌شوند. مطابق قضیه بلوخ تابع موج الکترون در یک شبکه کریستالی کاملاً منظم به صورت گسترده در سیستم پخش می‌شود که این باعث می‌شود سیستم یک رفتار فلزی از خود نشان دهد، اما طبق نظریه جایگزیدگی اندرسون زمانی که اختلال القاشده به شبکه بلوری به قدر کافی مؤثر باشد، تابع موج الکترون از ناخالصی‌هایی که به صورت تصادفی توزیع شده‌اند، پراکنده می‌شود و برخوردهای دوطرفه بین مؤلفه‌های پراکنده‌شده تابع موج را در فاصله‌های دور از بین برده و حالت‌های جایگزیده ایجاد می‌کند. این نوع جایگزیدگی موجب خلق عایق می‌شود و درنتیجه سیستم می‌تواند گذار رسانا-عایق را تجربه کند [۲۰]. یکی از روش‌های محاسبه طول جایگزیدگی روش ماتریس انتقال است. ماتریس انتقال روشی عددی است که برای بررسی محیط‌های بین‌نظم،



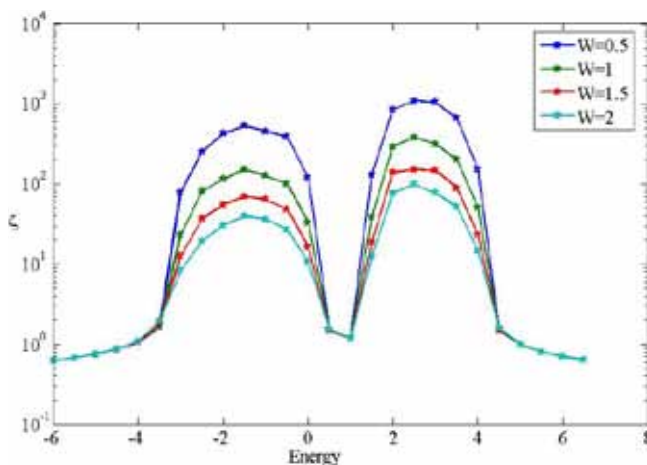
شکل ۳: محاسبه طول جایگزیدگی بر حسب انرژی برای مولکول سه زنجیرهای DNA برای مقادیر مختلف مقدار قدرت اختلال تصادفی زنجیره دوم



شکل ۱: نمایش DNA دوزنجیره‌ای



شکل ۲: نمایش DNA سه زنجیره‌ای



شکل ۴: محاسبه طول جایگزیدگی بر حسب انرژی برای مولکول دوزنجیرهای DNA برای مقادیر مختلف مقدار قدرت اختلال تصادفی زنجیره دوم

زنجیره اول در نظر گرفته شده است. همچنین ضرایب برهمنش بین زنجیره‌ها به دلیل تشابه ساختاری برابر با $V_1 = V_2 = 2$ در نظر گرفته می‌شود. همان‌طور که از شکل (۳) پیداست هرچه مقدار قدرت اختلال تصادفی زنجیره دوم کاهش می‌یابد این کاهش مانع پدیده جایگزیدگی تابع موج در DNA می‌گردد و باعث می‌شود که تابع موج الکترون در کل سیستم پخش شود و DNA بتواند گذار عایق رسانا را در مقادیر انرژی مختلفی تجربه کند.

همچنین محاسبات برای مولکول دوزنجیرهای DNA برای تمام مقادیر شکل (۳) انجام شده است که طول جایگزیدگی بر حسب انرژی برای مقادیر مختلف قدرت اختلال تصادفی زنجیره دوم در شکل (۴) را نشان می‌دهد [۱۲]. با توجه به شکل (۴) در اینجا نیز طول جایگزیدگی به‌ازای مقادیر کم قدرت اختلال بیشتر شده درنتیجه می‌تواند در مقادیر انرژی خاصی گذار عایق-رسانا را تجربه کند.

تفاوت عمده در مقایسه نمودارهای (۳ و ۴)، علاوه بر افزایش در مقادیر طول جایگزیدگی به‌ازای انرژی‌های مختلف، مستقل شدن طول جایگزیدگی شبکه DNA سه‌زنجیره‌ای از مقادیر اختلال وارد شده در بازه انرژی مشخص (خطوط منقطع) است (شکل ۳). نتایج به‌دست آمده بیانگر این است که دی‌ان‌آی واقعی شرایط مناسب‌تری برای گذار عایق-رسانا از خود نشان می‌دهد بدین معنی‌که هرچه طول جایگزیدگی بیشتر باشد (کاهش مقدار نمای لیپانوف)، سیستم آشوبناک‌تر می‌گردد درنتیجه تابع موج الکترون در کل سیستم پخش می‌شود که این خود گویای انتقال بار در کل سیستم خواهد بود.

نتیجه‌گیری

در این تحقیق خواص انتقال بار DNA سه‌زنجیره‌ای با به‌کار گیری تقریب تنگبست در مدل اندرسون و با استفاده از روش عددی ماتریس

نقاط بحرانی و نمایانه بحرانی از آن استفاده می‌شود. با استفاده از روش ماتریس انتقال، نمای لیپانوف کوانتومی محاسبه می‌شود که یک معیار برای مقدار آشوبناک بودن سیستم‌های کوانتومی است، بدین صورت که هرچه مقدار نمای لیپانوف کمتر باشد، سیستم به‌سمت یک سیستم آشوبناک میل می‌کند. با استفاده از رابطه (۱) می‌توان رابطه بازگشتی شرودینگر را برای دامنه تابع موج در موقعیت‌های مختلف نوشت:

$$\Psi_{i,j+1} = \frac{E - \varepsilon_{i,j}}{t_i} \Psi_{i,j} - \frac{V_i}{t_i} \Psi_{i+1,j} - \Psi_{i,j-1} \quad (3)$$

که ماتریس انتقال این معادله بازگشتی به صورت رابطه زیر است.

$$T_i = \begin{pmatrix} \frac{E - \varepsilon_{i,1}}{t_1} & \frac{-V_1}{t_1} & 0 & -1 & 0 & 0 \\ \frac{-V_1}{t_2} & \frac{E - \varepsilon_{i,2}}{t_2} & \frac{-V_2}{t_2} & 0 & -1 & 0 \\ 0 & \frac{-V_2}{t_3} & \frac{E - \varepsilon_{i,3}}{t_3} & 0 & 0 & -1 \\ 1 & 0 & 0 & 0 & 0 & 0 \\ 0 & 1 & 0 & 0 & 0 & 0 \\ 0 & 0 & 1 & 0 & 0 & 0 \end{pmatrix} \quad (4)$$

که در اینجا $\Gamma_L = T_L T_{L-1} T_{L-2} \dots T_2 T_1$ ماتریس انتقال کل سیستم خواهد بود. طبق قضیه اسلیدک [۲۱]، ماتریس انتقال Γ_L دارای تقارنی در ویژه مقدار خود خواهد بود. برای اساس، زمانی که طول سیستم به سمت مقدار بزرگ میل می‌کند ($L \rightarrow \infty$) ویژه مقدار ماتریس $\Gamma = (\Gamma_L^+ \Gamma_L)^{\frac{1}{2L}}$ به‌سمت ویژه متقابران به صورت $\exp(\pm i\gamma)$ می‌کند که γ نشان‌دهنده نمایانه لیپانوف هستند که افزایش یا کاهش نمایی تابع موج را در سیستم نشان می‌دهند. معکوس کوچک‌ترین نمای لیپانوف، بزرگ‌ترین طول جایگزیدگی که تابع موج را در سیستم مشخص می‌کند [۲۲ و ۲۳].

نتایج حاصل از مطالعه خواص انتقال بار مولکول DNA سه‌زنجیره‌ای در شکل (۳) نشان داده شده است. در این محاسبه طول جایگزیدگی بر حسب انرژی برای مقادیر مختلف قدرت اختلال زنجیره دوم محاسبه شده است. طول هر زنجیره $t_1 = 0.5$ ، مقدار ضریب برهمنش بین نقاط شبکه زنجیره اول $t_2 = 1$ و مقدار قدرت اختلال این زنجیره به‌دلیل منظم بودن ساختار آن، ثابت و برابر $0.5 = \gamma$ انتخاب شده است [۱۳].

برای زنجیره دوم مقدار ضریب برهمنش بین نقاط شبکه $t_2 = 1$ و مقدار قدرت اختلال تصادفی در بازه $\varepsilon_2 \in \left[\frac{-W}{2}, \frac{W}{2} \right]$ انتخاب می‌شود. مقادیر زنجیره سوم نیز به‌دلیل ساختاری متشابه با زنجیره اول به‌مانند

انتقال مورد بررسی قرار گرفت. هدف محاسبه طول جایگزیدگی و بررسی گذار عایق-رسانا در این سیستم بود. در این مطالعه با درنظر گرفتن زنجیره مختل شده مربوط به جفت بازها، طول جایگزیدگی بر حسب مقادیر مختلف قدرت اختلال محاسبه شد. نتیجه حاصله نشان می‌دهد که طول جایگزیدگی با کاهش مقدار قدرت اختلال افزایش پیدا می‌کند همچنین در مدل سه‌زنجیره‌ای DNA این طول جایگزیدگی در انرژی‌های خاصی مستقل از اختلال وارد شده به شبکه DNA می‌شود و در این مقادیر انرژی، طول جایگزیدگی بیشترین مقدار را خواهد داشت. نتیجه اینکه در مدل سه‌زنجیره‌ای DNA که به مدل واقعی نزدیک‌تر است، مقادیر طول جایگزیدگی به مراتب مقادیر بیشتری نسبت به مدل دوزنچیره‌ای نشان می‌دهد و DNA راحت‌تر می‌تواند گذار عایق-رسانا را تجربه کند که این خود برتری این مدل را نسبت به مدل دوزنچیره‌ای نشان می‌دهد.

References:

1. Osakada Y, Kawai K, Fujitsuka M, Majima T. Charge transfer through DNA nanoscaled assembly programmable with DNA building blocks. *PNAS* 2006; 103: 18072–6.
2. Rawtani D, Kuntmal B, Agrawal Y. Charge transfer in DNA and its diverse modelling approaches. *Front. Life Sci.* 2016; 9: 214-25.
3. Xiang L, Palma JL, Bruot C, Mujica V, Ratner MA, Tao N. Intermediate tunnelling-hopping regime in DNA charge transport. *Nat. Chem.* 2015; 7: 221-6.
4. Wang L, Qin ZJ. Isolate extended state in the DNA molecular transistor with surface interaction. *Physica B* 2016; 482: 1-7.
5. Pal PP, Jiang N, Sonntag MD, Chiang N, Foley FE, Hersam MC, Van Duyne RP, Seideman T. Plasmon-Mediated Electron Transport in Tip-Enhanced Raman Spectroscopic Junctions. *J. Phys. Chem. Lett.* 2015; 6 (21): 4210–8.
6. Zhong J, Stocks GM. Localization/quasi-delocalization transitions and quasi-mobility-edges in shell-doped nanowires. *Nano Lett.* 2006; 6(1): 128-32.
7. Behnia S, Fathizadeh S. Modeling the electrical conduction in DNA nanowires: Charge transfer and lattice fluctuation theories. *Phys. Rev. E* 2015; 91(2): 022719.
8. Bagci VMK, Krokhin AA. Metal-insulator transition in DNA molecules induced by long-range correlations in the sequence of nucleotides. *Chaos, Solitons Fractals* 2007; 34(1): 104-11.
9. Carpena P, Bernaola-Galván P, Ivanov PC, Stanley HE. Metal-insulator transition in chains with correlated disorder. *Nature* 2002; 418(6901): 955-9.
10. Porath D, Bezryadin A, De Vries S, Dekker C. Direct measurement of electrical transport through DNA molecules. *Nature* 2000; 403(6770): 635-8.
11. Cuniberti G, Craco L, Porath D, Dekker C. Backbone-induced semiconducting behavior in short DNA wires. *Phys. Rev. B* 2002; 65(24): 241314.
12. Iguchi K. Semiconductivity and band gap of a double strand of DNA. *J. Phys. Soc. Jpn.* 2001; 70(2): 593-7.
13. Zhang W, Yang R, Zhao Y, Duan S, Zhang P, Ulloa SE. Interchain coupling induced localization/delocalization in coupled one-dimensional ordered and disordered chains. *Phys. Rev. B* 2010; 81(21): 214202.
14. Comtet A, Texier C, Tourigny Y. Lyapunov exponents, one-dimensional Anderson localization and products of random matrices. *J. Phys. A: Math. Theor.* 2013; 46(25): 254003.
15. Eilmes A. Transfer-matrix method study of charge localization lengths in tetracene crystals with chemical impurities. *Synth. Met.* 2013; 180: 16-24.
16. Haake F. Quantum signatures of chaos. USA: Springer Science & Business Media; 2013.
17. Hill A, Ziegler K. Anderson localization in a two-dimensional random gap model. *Physica E* 2014; 56: 172-6.
18. Yakushevich LV. Nonlinear physics of DNA. USA: John Wiley & Sons; 2006.
19. Zhao Y, Duan S, Zhang W. (De) localization and the mobility edges in a disordered double chain with long-range intrachain correlation and short-range interchain correlation. *J. Phys.: Condens. Matter* 2012; 24(24): 245502.
20. Anderson PW. Absence of diffusion in certain random lattices. *Phys. Rev.* 1958; 109(5); 1492.
21. Deng CS, Xu H. Delocalization to localization transition in one-dimensional systems with long-range correlated off-diagonal disorder. *Physica E* 2012; 44(7): 1473-7.
22. Sales MO, de Moura FABF. Numerical study of the one-electron dynamics in one-dimensional systems with short-range correlated disorder. *Physica E* 2012; 45: 97-102.
23. Djeraba A, Senouci K, Zekri N. Localization-delocalization transition in two-dimensional system with correlated disorder. *Physica B* 2010; 405(6): 1558-61.